

На рис. 2, 3 показано розподіл напружень  $\sigma_\theta$  на поверхні квадратної виробки /  $N=3; C_1=0; C_2=0; C_3=\pm \frac{1}{9}g$  / у випадку абсолютно жорсткого ядра. Суцільною лінією зображені напруження у частках  $\delta N$ , пунктиром – у частках  $\gamma R$ .

Стаття надійшла в редколегію 12.02.1980 р.

УДК 624.07:534.1

Б.І.Гайнась, В.М.Фарат

ДОСЛІДЖЕННЯ КОЛІВАНЬ СТИСНУТОГО  
КОНСОЛЬНОГО КОНІЧНОГО СТЕРЖНЯ З МАСОЮ

Розглядаємо пружний консольний стержень жорсткості  $EJ(x)$  і маси  $m(x)$  при дії слідкуючої сили  $H$  та консервативної  $G$  на вільному кінці. Зосереджена маса  $M$ , розміщена у точці  $x$ , /рис. I/. Дослідження малих коливань стержня зводиться до такої кра-

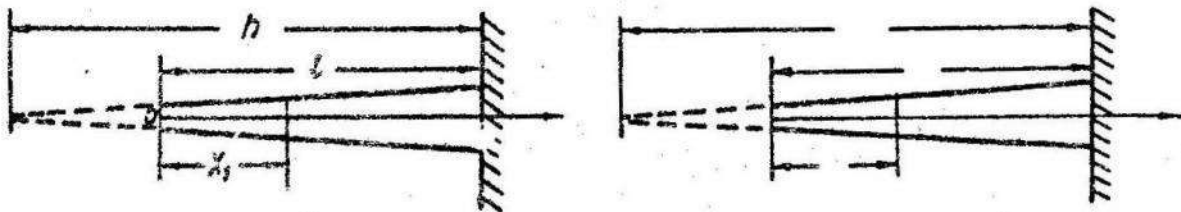


Рис. I.

йової задачі:

$$[f(x)y'']'' + \rho y'' - \omega^2 g(x)y = \sum_{q=1}^2 \omega^2 \gamma_{q1} y^{(q-1)}(x) \delta_q(x-x_i), \quad /1/$$

$$[f(x)y'']' + P(f-g)y' = 0, \quad f(x)y'' = 0 \quad \text{при} \quad x=0, \quad /2/$$

$$y = y' = 0 \quad \text{при} \quad x=l,$$

$$\text{де} \quad \omega^2 = \frac{m_0 \Omega^2 l^4}{E J_0} \quad ; \quad \rho = \frac{Nl^2}{E J_0} \quad ; \quad \Omega \quad - \text{частота};$$

$$\gamma_{q1} = \frac{M}{m_0 l}; \quad \gamma_{21} = \frac{f_g}{m_0 l}; \quad N = G + H; \quad m_0 = m(l); \quad J_0 = J(l).$$

$\tau$  - момент інерції зосередженої маси;  $\gamma$  - параметр неконсервативності;  $B_q(x)$  -  $q$ -та похідна функції Хевісаїда  $B_0(x)$

$$f(x) = [(1-\lambda) + \lambda x]^q, \quad g(x) = [(1-\lambda) + \lambda x]^2, \quad \lambda = \frac{\rho}{n}.$$

Розв'язок рівняння /I/ шукаємо у вигляді ряду [I]

$$y(x) = \sum_{n=0}^{\infty} y_n(x) \omega^{2n}. \quad /3/$$

На невідомі функції  $y_n(x)$  ( $n = 0, 1, 2 \dots$ ) накладаємо такі умови:

$$[f(x)y_0'']'' + \rho y_0'' = 0, \quad /4/$$

$$f(x)y_0'' + \rho(1-\gamma)y_0' = 0, \quad [f(x)y_0'']' = 0 \text{ при } x=0, \quad /5/$$

$$[f(x)y_n'']'' + \rho y_n'' = g(x)y_{n-1} + \sum_{q=1}^2 \gamma_q y_{n-1}^{(q-1)}(x) B_q(x-x_0), \quad /6/$$

$$f(x)y_n'' = [f(x)y_n'']' = y_n' = y_n = 0 \text{ при } x=0. \quad /7/$$

При цьому  $y(x)$  задовільняє рівняння /I/ і умови на вільному кінці.

Розв'язок задачі /4/ - /5/ має вигляд

$$y_0(x) = \sum_{k=0}^l C_k \Phi_{k0}(x), \quad /8/$$

$$\text{де } \Phi_{00}(x) = \gamma x + \frac{(1-\gamma)(1-\lambda)(1-\lambda+\lambda x)}{\sqrt{\rho}} \sin \frac{\sqrt{\rho} x}{(1-\lambda)(1-\lambda+\lambda x)}, \quad /9/$$

$$\Phi_{10}(x) = 1,$$

Розв'язки  $y_n$  задачі /6/ - /7/ визначаються через попередні  $y_{n-1}$  за допомогою співвідношения

$$y_n = \frac{1}{\rho} \left\{ \int_x^{\infty} \Psi(x, t) g(t) y_{n-1}(t) dt + \right. \\ \left. + \sum_{q=1}^2 \gamma_q y_{n-1}^{(q-1)}(x, x-1)^{q-1} [\Psi_q^{(q-1)}(x, t)]_{t=x}, B_q(x-x_0) \right\}, \quad /10/$$

де  $\Psi(x, t)$  - функція вимізу [3] однорідного диференціального

рівняння /6/, оточому

$$\psi(x,t) = (x-t) - \frac{(t-d+dx)(t-d+dt)}{\sqrt{\rho}} \sin \frac{\sqrt{\rho}(x-t)}{(t-d+dx)(t-d+dt)}. \quad /III/$$

Тоді з врахуванням умов /7/ і спiввiдношення /8/ маємо

$$y_n(x) = \sum_{k=0}^l c_k \varphi_{kn}(x). \quad /I2/$$

У розв'язок /10/ входять значення  $y_n^{(q-1)}(x_i)$ , які запишемо у вигляді

$$y_n^{(q)}(x_i) = \sum_{k=0}^l c_k A_{ek}^n, \quad /I3/$$

де  $A_{ek}^n = y_n^{(q)}(x_i) / c_k = \delta_{jk}$ ,  $\delta_{jk}$  — символ Кронекера.

Легко показати [4], що розв'язки  $y^{(z)}(x)$  ( $z=0,1$ ) неперервнi при  $x \in \mathbb{R}$ . Тому

$$A_{ek}^n = \frac{1}{\rho} \int_0^{x_0} \psi_x^{(q)}(x,t) g(t) \varphi_{kn-1}(t) dt, \quad /I4/$$

$$\begin{aligned} \varphi_{kn}^{(q)}(x) &= \frac{1}{\rho} \left\{ \int_0^{x_0} \psi_x^{(q)}(x,t) g(t) \varphi_{kn-1}(t) dt + \right. \\ &\left. + \sum_{q=1}^l 2 q! A_{q+k}^{(q)} (-1)^{q-1} [\psi_t^{(q-1)}(x,t)]_{x=t=x_1}^{(q)} \varphi_0(x-x_1) \right\}. \quad /I5/ \end{aligned}$$

Маючи вирази для  $\varphi_{kn}^{(q)}(1)$ , легко отримати характеристичне рiвняння у виглядi

$$\sum_{m=0}^{\infty} A_m \omega^{2m} = 0, \quad /I6/$$

$$\text{де } A_m = \sum_{k=0}^m [\varphi_{m-k}^{(q)}(1) \varphi_{kn}^{(q)}(1) - \varphi_{m-k}^{(q)}(1) \varphi_{kn}^{(q)}(1)]. \quad /I7/$$

Якщо є коефiцiєнти характеристичного ряду, можна обчислити методом двостороннiх оцiнок частоту коливань конiчного стержня та критичнi параметри навантаження.

FIG. 4.

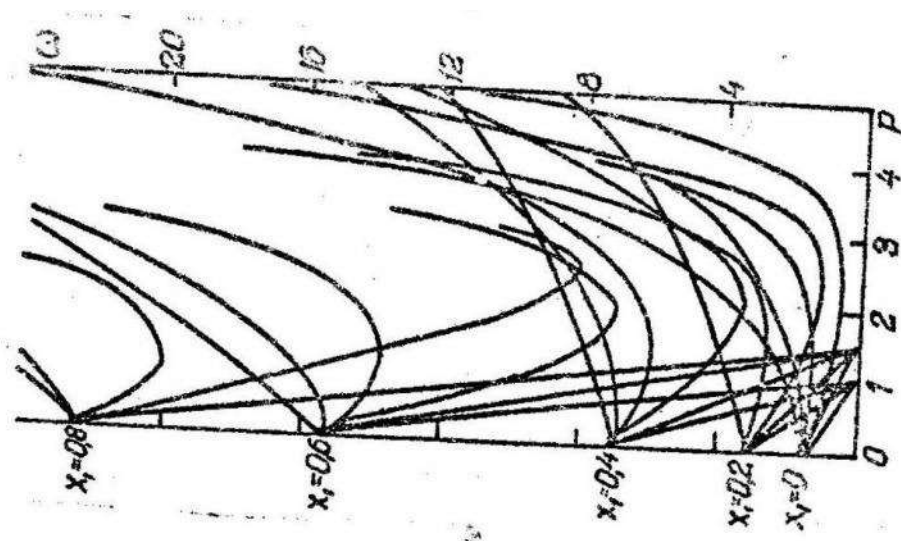


FIG. 3.

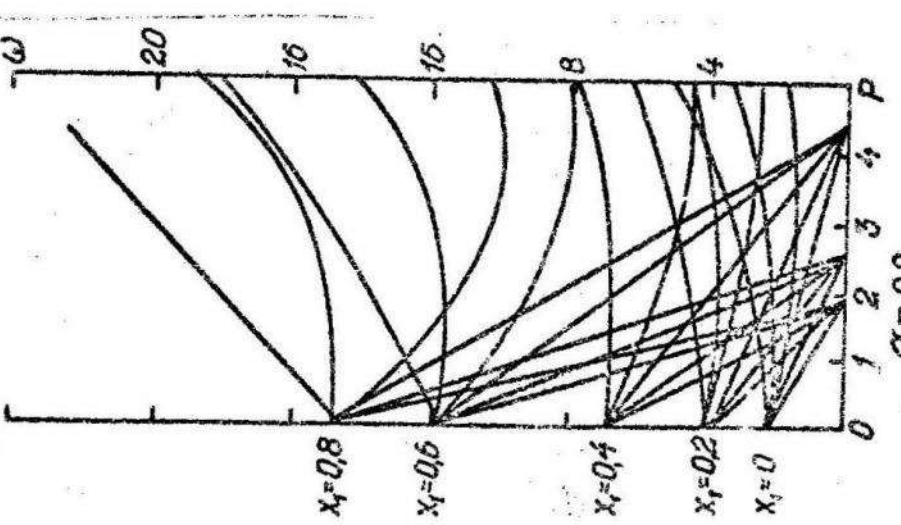
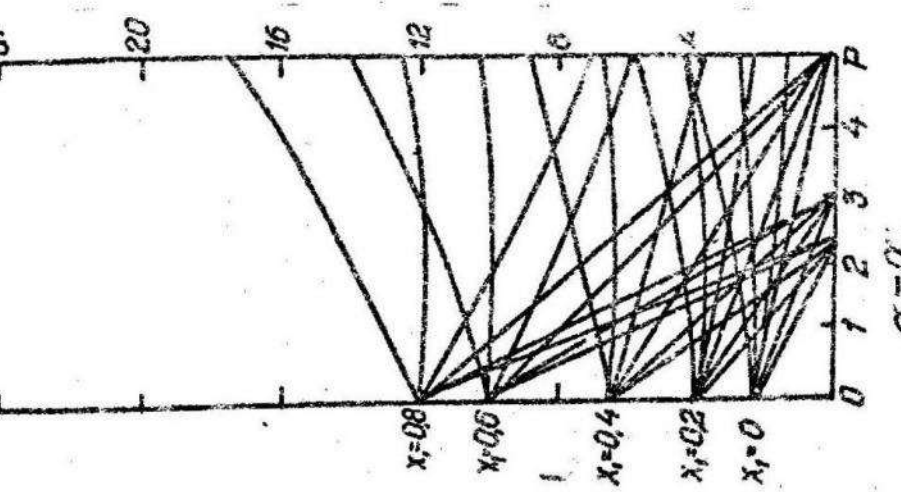


FIG. 2.



На рис. 2-4 видно кривизні частот  $\omega$  від під параметрів конусості  $\alpha$ , неконсервативності  $\gamma$  і точок  $x_1$ , прикладення зосередженої маси. Кожен пучок кривих залежності частот від параметрів відповідає одному значенню  $x_1$ , точки прикладення зосередженої маси з множини  $\{0(0,2)0,3\}$ . Пучки від нижнього до верхнього побудовані у порядку зростання цих значень. Криві в кожному пучку від нижньої до верхньої побудовані для значень параметрів неконсервативності  $\gamma$  від 0 до 1 з кроком 0,2 відповідно при  $\gamma_1=1$ ,  $\gamma_2=0$ .

Список літератури: І. Байдак Д.А.; Зорій Л.М. Про дослідження коливань і стійкості стержнів змінної жорсткості методом двосторонніх оцінок. - ДАН УРСР, сер. А., 1972, № 6. 2. Зорій Л.М. К развитию аналитических методов исследования задач динамики упругих и гидроупругих систем. - Математические методы и физико-механические задачи, 1978, № 7. 3. Зорій Л.М. Про новий метод побудови загальних розв'язків лінійних диференціальних рівнянь. - ДАН УРСР, сер. А, 1979, № 5. 4. Образцов И.Ф., Овакнов Г.Г. Строительная механика скелетных тонкостенных систем. - М.: Машиностроение, 1973.

Стаття надійшла в редакцію 08.01.1980 р.